



دانشگاه شهرز
دانشکده عمران
گروه مهندسی آب

پایان نامه

برای دریافت درجه کارشناسی ارشد در رشته سازه های دریایی

عنوان

تحلیل دینامیکی سکوی پایه کششی و مقایسه نتایج با پاسخ اندازه گیری شده

استاد راهنما

دکتر محمد علی لطف الهی یقین

استاد مشاور

دکتر محمد حسین امین فر

پژوهشگر

رضا خلج

اردیبهشت ۸۹

به نام نامی دوست که هرچه داریم از اوست

تّعديم به پدر بزرگوارم که تمام هستی ام بر شانه های صبور ش شکل گرفت

تّعديم به مادر مهر باشم که تمام وجودش را در قلب عشق به من بخشید

و تّعديم به بسترهاین همراهان زندگیم، خواه رو برادر عزیزم.

با شکر از محبت‌ها و همکاری‌هایی:

- ❖ دکتر علی لطف‌الهی که راهنمایی پایان نامه را بر عده داشتند.
- ❖ استاد گر اتقدری که در مراحل مختلف تحصیل در خدمت آنها کسب علم نمودم.
- ❖ کلیه دوستانی که در مراحل مختلف پایان نامه مانده همکاری داشتند.
- ❖ پدر، مادر، خواهر و برادر عزیزم که همواره پشتیبان من بوده‌اند.

نام خانوادگی دانشجو : خلچ

نام : رضا

عنوان پایان نامه : تحلیل دینامیکی سکوی پایه کششی و مقایسه نتایج با پاسخ اندازه گیری شده

استاد راهنما : دکتر محمد علی لطف الهی یقین

استاد مشاور : دکتر محمد حسین امین فر

مقطع تحصیلی : کارشناسی ارشد رشته : سازه دریایی گرایش : مهندسی آب دانشگاه : تبریز

تعداد صفحه : ۲۲۹

تاریخ فارغ التحصیلی :

دانشکده : مهندسی عمران

کلید واژه ها : سازه های آب عمیق، موج تصادفی، پاسخ کوپله دینامیکی، سیستمهای رایزر و مهار، مدل

Fortran, برنامه نویسی *mini-TLP ABAQUS*

چکیده :

سازه های فراساحل تطبیقی برای استخراج نفت در آب عمیق استفاده می شوند. سکوی پایه کششی (*TLP*) نوع مناسبی برای آبهای بسیار عمیق می باشد. پاسخ دینامیک غیرخطی *TLP* تحت موج دریایی تصادفی برای تعیین تغییر شکل ها و نیروهای حداکثر ضروری است. پاسخ های دقیق و قابل اطمینان برای طراحی بهینه و کنترل سازه نیاز هستند. از سوی دیگر، اندرکنش کوپله دینامیکی میان بدنی یک سکوی شناور و تندون ها و رایزرهایش نقش مهمی در حرکات *global* سکو و بارهای کششی در تندون ها و رایزرهای بازی می کند. برای محاسبه حرکات و کشش های دینامیک مربوط به سازه شناوری که توسط سیستم مورینگ / تندون و رایزرش موقعیت دهی و مهار گشته، مدلی در *ABAQUS* ایجاد شد. در این مطالعه حرکات اندازه گیری شده آزمایشگاهی یک *Xiaohong Chen mini-TLP* (برگرفته از *JONSWAP* زمانی ۳ ساعتۀ موج نامنظمی (مطابق با آزمایش) مبتنی بر طیف *ABAQUS* مقایسه شده اند. تاریخچه و همکاران در سال ۲۰۰۵) با مقادیر محاسبه شده توسط مدل *ABAQUS* ایجاد شده اند. کدنویسی *Fortran* ایجاد شده است. این کد، سینماتیک مؤلفه های موج تصادفی را محاسبه و این داده ها را به *ABAQUS* ارسال می کند. مقایسه ها تأیید کردند که مدل *ABAQUS* قادر به پیش بینی اندرکنش بین بدن و سیستمهای تندون و رایزرش است. پس از این تأیید، برای بررسی اثر شکل بدن روی

ادامه چکیده پایان نامه

پاسخ دینامیک TLP ها، آنالیز دینامیکی یک مدل TLP مربعی و مدل TLP مثلثی معادلش تحت امواج منظم انجام گرفت. بررسی های عددی برای مقایسه پاسخ کوپلۀ این دو TLP معادل انجام یافته اند. تمرکز این مطالعه روی تصدیق و تحقق مدل *ABAQUS* ایجاد شده با نتایج اندازه گیری شده آزمایشگاهی و پس از آن مقایسه میان رفتار دینامیکی TLP های با بدنه مربعی و مثلثی است.

فهرست

فصل اول: کلیات

۱	۱-۱- مقدمه
۲	۱-۲- هدف تحقیق
۲	۱-۳- روش انجام تحقیق
۲	۱-۴- فصل بندی پایان نامه

فصل دوم: معرفی کلی *TLP*

۴	۱-۲- مقدمه
۵	۲-۲- معرفی کلی <i>TLP</i>
۶	۲-۳- تاریخچه <i>TLP</i>
۸	۲-۴- مرور کلی بر ایده، هندسه و طراحی <i>TLP</i>
۸	۲-۴-۱- اجزا و عملکرد اجزاء <i>TLP</i>
۱۱	۲-۴-۲- انواع سکوهای پایه کششی
۱۷	۲-۵- روش های اجرای <i>TLP</i>
۱۷	۲-۵-۱- اجرای فونداسیون در <i>TLP</i> ها
۲۱	۲-۵-۲- روش نصب یک <i>TLP</i> و تندون های آن
۳۰	۲-۶- مرور منابع و مطالعات پیشین
۳۰	۲-۶-۱- مطالعات پاسخ دینامیک کوپله <i>TLP</i> ها
۳۶	۲-۶-۲- مطالعات هیدرودینامیکی <i>TLP</i> ها
۴۲	۲-۶-۳- مطالعات تعیین <i>airgap</i> و <i>run up</i> در <i>TLP</i> ها

فصل سوم: ضوابط محیطی و بارگذاری *TLP*

۴۴	۳-۱- ضابطه طراحی محیطی برای سکوهای پایه کششی
۴۴	۳-۱-۱- مقدمه
۴۵	۳-۱-۲- پاسخ <i>TLP</i>
۴۸	۳-۱-۳- شرایط عملیاتی و طراحی محیط اقیانوس
۵۰	۳-۴- توصیه <i>API-RP 2T</i> در مورد ضابطه محیطی

۵۲	۲-۳- بارگذاری <i>TLP</i>
۵۲	۱-۲-۳- انواع بار وارد بر <i>TLP</i>
۵۲	۲-۲-۳- بارهای محیطی وارد بر <i>TLP</i>

فصل چهارم: مروار کلی بر طراحی و مکانیک *TLP*

۵۹	۴-۱- اهداف طراحی
۵۹	۴-۲- تعیین اندازه <i>TLP</i>
۶۳	۴-۳- روش های آنالیز
۷۰	۴-۴- انتخاب روش آنالیز
۷۲	۴-۵- مکانیک <i>TLP</i>
۷۲	۴-۱-۵- کلیات
۷۴	۴-۲-۵- <i>Set down and Offset</i>
۷۵	۴-۳-۵- کشش تندون
۷۸	۴-۴-۵- حرکات و جابجایی ها
۷۹	۴-۶- اندازه گذاری <i>TLP</i>
۸۱	۴-۱-۶- ملاحظات طراحی اولیه
۸۴	۴-۲-۶- پروسۀ طراحی اولیه
۸۶	۴-۳-۶- طرح کلی پروسۀ طراحی اولیه
۸۸	۴-۴-۶- محاسبات فرم بسته نیروی <i>Heave</i> و کشش تندون
۹۲	۴-۷- تخمین های وزن <i>TLP</i> ها
۹۳	۴-۱-۷- کلیات
۹۵	۴-۲-۷- تخمین وزن <i>lightship</i>
۹۷	۴-۳-۷- بار متغیر
۹۷	۴-۸- سازۀ بدنه <i>TLP</i>
۹۷	۴-۱-۸- کلیات
۹۸	۴-۲-۸- مقاومت موضعی <i>TLP</i> ها
۱۰۱	۴-۳-۸- مقاومت کلی <i>TLP</i> ها
۱۱۰	۴-۹- بدست آوردن معادلات پارامتری آنالیز دینامیکی دو <i>TLP</i> مثلثی و مربعی معادل

۱۱۰	۱-۹-۴	- ماتریس سختی
۱۲۱	۲-۹-۴	- ماتریس جرم
۱۲۵	۴-۹-۴	- ماتریس استهلاک سازه ای
۱۲۵	۴-۹-۴	- بردار نیروی هیدرودینامیک
۱۲۷	۶-۹-۴	- معادله حرکت
۱۲۷	۷-۹-۴	- حل معادله حرکت در حوزه زمانی

فصل پنجم: مدلسازی کامپیوتری

۱۲۹	۱-۵	- مقدمه
۱۳۰	۲-۵	(Complete ABAQUS Environment) CAE
۱۳۴	۳-۵	- واحدها
۱۳۴	۴-۵	- مقایسه شیوه های حل <i>Explicit</i> و <i>Implicit</i>
۱۳۵	۵-۵	- المان ها
۱۳۶	۵-۵	- المان های <i>Beam</i>
۱۳۹	۵-۵	- انتخاب المان های <i>Beam</i>
۱۴۰	۵-۵	- آنالیز خطی و غیرخطی
۱۴۱	۶-۵	- حل مسائل غیرخطی
۱۴۵	۶-۵	- وارد کردن هندسه غیر خطی (<i>Nlgeom</i>) در یک آنالیز <i>Abaqus</i>
۱۴۷	۷-۵	- آنالیز چند گامی
۱۴۷	۸-۵	- شیوه های آنالیز در <i>abaqus</i>
۱۴۷	۸-۵	- روش های آنالیز <i>General</i>
۱۴۸	۸-۵	- روش های آنالیز <i>Linear perturbation</i>
۱۴۹	۹-۵	- تعریف قیود در <i>ABAQUS</i>
۱۵۰	۹-۵	- استفاده از <i>MPC</i> ها در آنالیز دینامیکی <i>Implicit</i>
۱۵۰	۹-۵	- استفاده از <i>MPC</i> های غیرخطی در آنالیز خطی هندسی <i>standard</i>
۱۵۰	۹-۵	- المان های <i>Connector</i> در برابر قیود چند نقطه ای
۱۵۱	۱۰-۵	- مدول <i>Abaqus/Aqua</i>
۱۵۱	۱۰-۵	- روش های موجود برای آنالیز <i>Aqua</i>

۱۵۲	۱۰-۵- تعریف یک مسئله <i>Aqua</i>
۱۶۴	۱۱-۵- جزئیات مدلسازی مدل آزمایشگاهی در <i>ABAQUS</i>
۱۶۴	۱۱-۵- مشخصات مدل اصلی
۱۷۰	۱۱-۵- مراحل مدلسازی

فصل ششم: تحلیل *TLP* تحت امواج تصادفی و بررسی و مقایسه نتایج

۱۸۸	۱-۶- مقدمه
۱۸۸	۲-۶- آنالیز استخراج فرکانس های طبیعی
۲۰۳	۳-۶- آنالیز دینامیکی

فصل هفتم: نتیجه گیری و پیشنهاد

۲۲۳	۷-۱- مقدمه
۲۲۳	۷-۲- نتیجه گیری کلی
۲۲۴	۷-۳- پیشنهادات برای کارهای بعدی

فهرست جداول

جدول ۴-۱- مجموعه پارامترهای طراحی اولیه سکوی پایه کششی ۸۳
جدول ۴-۲- وزن TLP و گروه های داده طراحی اولیه ۹۴
جدول ۵-۱- برخی مشخصات $mini-TLP$ آزمایش <i>Teigen & Niedzwecki (1998)</i> ۱۶۸
جدول ۵-۲- تخمین هایی از پریود های طبیعی $free Decay$ از آزمایش $mini-TLP$ ۱۶۹
جدول ۵-۳- مشخصات رایزرها و تندون ها مبنی بر آزمایشات مدل ۱۶۹
جدول ۵-۴- ضرایب هیدرودینامیکی اجزاء $mini-TLP$ ۱۷۰
جدول ۵-۵- مشخصات مصالح اجزاء $mini-TLP$ ۱۷۲
جدول ۵-۶- مشخصات هندسی جداره مقاطع اجزاء $mini-TLP$ ۱۷۲
جدول ۶-۱- مقایسه پریود های طبیعی آنالیز با پریودهای طبیعی آزمایش ۱۸۸
جدول ۶-۲- پریود ها و فرکانس های طبیعی $mini-TLP$ ۱۸۹
جدول ۶-۳- مقایسه مقادیر پیش کشیدگی اولیه دو مدل ۲۰۱
جدول ۶-۴- مقایسه پاسخ حرکتی و کشش های $mini-TLP$ آزمایش با مدل <i>Abaqus</i> ۲۱۰
جدول ۶-۵- مقایسه مشخصات TLP مربعی و TLP مثلثی معادلش ۲۱۱
جدول ۶-۶- داده های هیدرودینامیک مربوط به ارزیابی نیروی موج ۲۱۳
جدول ۶-۷- پاسخ کوپله $surge$ مدل های TLP (بر حسب متر) ۲۱۴
جدول ۶-۸- پاسخ کوپله $heave$ مدل های TLP (بر حسب متر) ۲۱۷
جدول ۶-۹- پاسخ کوپله $pitch$ مدل های TLP (بر حسب رادیان) ۲۲۰
جدول ۶-۱۰- میزان افزایش پاسخ حداکثر $surge$ نسبت به افزایش ارتفاع موج تابشی ۲۲۳
جدول ۶-۱۱- میزان افزایش پاسخ حداکثر $heave$ نسبت به افزایش ارتفاع موج تابشی ۲۲۳
جدول ۶-۱۲- میزان افزایش پاسخ حداکثر $pitch$ نسبت به افزایش ارتفاع موج تابشی ۲۲۳
جدول ۶-۱۳- متوسط درصد کاهش پاسخ TLP مثلثی نسبت به پاسخ TLP مربعی معادلش ۲۲۵

فهرست اشکال

..... ۴	شکل ۲-۱- تقسیم بندی سکوهای فراساحلی
..... ۵	شکل ۲-۲- درجات آزادی سکوی پایه کششی
..... ۶	شکل ۲-۳- اولین ایده سکوی پایه کششی
..... ۷	شکل ۲-۴- سکوهای پایه کششی ساخته شده تا سال ۲۰۰۴
..... ۸	شکل ۲-۵- اجزای سکوی پایه کششی
..... ۱۴	شکل ۲-۶- سکوی پایه کششی <i>Prince</i>
..... ۱۴	شکل ۲-۷- سکوی مربعی
..... ۱۵	شکل ۲-۸- ایده سکوی پایه کششی <i>SeaStar</i>
..... ۱۶	شکل ۲-۹- سکوی <i>Typhoon</i> , یک سکوی <i>SeaStar</i>
..... ۱۷	شکل ۲-۱۰- نمای پرسپکتیو از یک سکوی فراساحل
..... ۱۸	شکل ۲-۱۱- پلان فوقانی یک <i>TLP</i> بر فراز یک قالب چاه
..... ۱۹	شکل ۲-۱۲- پلان فوقانی یک <i>TLP</i> بر فراز یک قالب چاه
..... ۱۹	شکل ۲-۱۳- شمع کوبیده شده به کمک قالب شمع کوبی
..... ۱۹	شکل ۲-۱۴- اتصال مستقیم تندون به سوکت
..... ۲۰	شکل ۲-۱۵ و ۱۶- حالت های اتصال تندون ها به شمع ها
..... ۲۰	شکل ۲-۱۷- یک قالب واحد بدون نیاز به تغییر موقعیت مجدد
..... ۲۶	شکل ۲-۱۸- مرحله یدک کشی (پلان)
..... ۲۷	شکل ۲-۱۹- مرحله یدک کشی (نمای جانبی)
..... ۲۷	شکل ۲-۲۰- تجهیزات اتصال تندون ها به بدنه
..... ۲۸	شکل ۲-۲۱- اتصال تندون ها به بستر به کمک شناورهای پشتیبان
..... ۲۸	شکل ۲-۲۲- جزئیات پایین بردن تندون / جزئیات دستگاه های کشش
..... ۲۹	شکل ۲-۲۳- اتصال تندون ها به طناب های پایین برنده
..... ۲۹	شکل ۲-۲۴- عبور تندون ها از میان غلاف های بدنه
..... ۳۰	شکل ۲-۲۵- <i>TLP</i> در حالت آبخور <i>Lock-off</i>
..... ۴۴	شکل ۳-۱- فرکанс طبیعی <i>surge</i> سکوی ثابت و تطبیقی نسبت به طیف موج و باد
..... ۴۵	شکل ۳-۲- پاسخ های اولیه سکوی پایه کششی

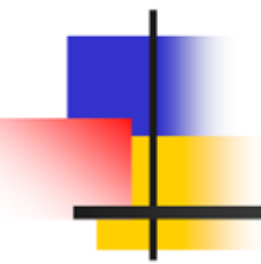
شکل ۳-۳- ضریب اینرسی پیدا شده توسط معادل قرار دادن حل *MacCamy-Fuchs WFE* با ترم اینرسی

.....	۵۷
.....	۵۸
.....	۶۰
.....	۶۱
.....	۶۳
.....	۶۴
.....	۶۵
.....	۶۶
.....	۶۶
.....	۶۷
.....	۶۸
.....	۶۹
.....	۷۱
.....	۷۲
.....	۷۸
.....	۸۰
.....	۹۸
.....	۹۹
.....	۱۰۱
.....	۱۰۲
.....	۱۰۳
.....	۱۰۳
.....	۱۰۴
.....	۱۰۴
.....	۱۰۴
.....	۱۰۵

شکل ۴-۲۵- نیروهای ستون در حالت موج مایل با تاج مرکزی.....	۱۰۶
شکل ۴-۲۶- الگوی تغییرشکل پنتون در حالت موج مایل با تاج مرکزی	۱۰۶
شکل ۴-۲۷- خمش صفحه قائم ناشی از وح مایل با تاج مرکزی - مؤلفه مربوط به پنتون	۱۰۷
شکل ۴-۲۸- خمش صفحه قائم ناشی از وح مایل با تاج مرکزی - مؤلفه مربوط به خمش ستون	۱۰۸
شکل ۴-۲۹- المان های بدنی به عنوان مؤلفه های یک <i>TLP Hull</i>	۱۰۹
شکل ۴-۳۰- سکوی پایه کششی مربعی (چهارپایه)	۱۱۰
شکل ۴-۳۱- پیکربندی مثلثی سکوی پایه کششی	۱۱۱
شکل ۴-۳۲- درجات آزادی سکو	۱۱۲
شکل ۴-۳۳- پلان سکو در تراز <i>hull</i>	۱۱۲
شکل ۴-۳۴- نمای شماتیک پیکربندی مثلثی سکوی پایه کششی	۱۱۲
شکل ۴-۳۵- جابجایی در درجه آزادی <i>surge</i>	۱۱۳
شکل ۴-۳۶- جابجایی در درجه آزادی <i>sway</i>	۱۱۵
شکل ۴-۳۷- جابجایی در درجه آزادی <i>roll</i>	۱۱۷
شکل ۴-۳۸- جابجایی در درجه آزادی <i>pitch</i>	۱۱۹
شکل ۴-۳۹- جابجایی در درجه آزادی <i>yaw</i>	۱۲۰
شکل ۴-۴۰- پلان و نمای <i>TLP</i> مربعی	۱۲۳
شکل ۴-۴۱- جابجایی در درجه آزادی <i>surge</i>	۱۲۴
شکل ۴-۴۲- مراحل یک آنالیز کامل <i>ABAQUS</i>	۱۲۹
شکل ۴-۴۳- ترتیب مدول ها در <i>ABAQUS</i>	۱۳۱
شکل ۴-۴۴- مدل درختی <i>ABAQUS</i>	۱۳۳
شکل ۴-۴۵- مقایسه هزینه حل <i>Explicit</i> و <i>Implicit</i>	۱۳۵
شکل ۴-۴۶- نقاط انتگرال گیری در المان <i>B32</i>	۱۳۸
شکل ۴-۴۷- جهت یابی مقطع عرضی المان های <i>Beam</i>	۱۳۸
شکل ۴-۴۸- منحنی غیر خطی بار- تغییرمکان	۱۴۰
شکل ۴-۴۹- نیروهای خارجی و داخلی در یک شبیه سازی	۱۴۱
شکل ۴-۵۰- روش تکرار نیوتن - رافسون در <i>ABAQUS/Standard</i>	۱۴۲
شکل ۴-۵۱- انجام تکرارهای بیشتر برای همگرایی حل	۱۴۴

شکل ۱۱-۵- تصویر <i>mini-TLP</i> طی انجام آزمایشات مدل در حوضچه <i>OTRC</i>	۱۶۵
شکل ۱۲-۵- آرایش تندون ها و رایزرهای مدل <i>mini-TLP</i>	۱۶۶
شکل ۱۳-۵- ترسیم شماتیک از آرایش نسبی تندون ها و رایزرهای <i>mini-TLP</i>	۱۶۶
شکل ۱۴-۵- ترسیم شماتیک از هندسه <i>Hull</i>	۱۶۷
شکل ۱۵-۵- دستگاه مختصات فرضی و جهت تابش امواج	۱۶۷
شکل ۱۶-۵- چند نما از مدل تکمیل شده <i>ABAQUS</i> در <i>mini-TLP</i>	۱۷۶
شکل ۱۷-۵- سری های زمانی تراز موج تابشی (بازه ۰ تا ۳۰۰۰ ثانیه)	۱۸۱
شکل ۱۸-۵- سری های زمانی تراز موج تابشی (بازه ۳۰۰۰ تا ۶۰۰۰ ثانیه)	۱۸۲
شکل ۱۹-۵- سری های زمانی تراز موج تابشی (بازه ۶۰۰۰ تا ۹۰۰۰ ثانیه)	۱۸۳
شکل ۲۰-۵- سری های زمانی تراز موج تابشی (بازه ۹۰۰۰ تا ۱۰۸۰۰ ثانیه)	۱۸۴
شکل ۲۱-۵- طیف <i>JONSWAP</i> استفاده شده برای تولید امواج نامنظم	۱۸۴
شکل ۱-۶ تا ۱۷-۶- اشکال مد متداول <i>TLP</i> آزمایش از آنالیز استخراج فرکانس	۱۹۱
شکل ۱۸-۶- پیش کشیدگی اولیه تندون ها طی گام استاتیک : (الف) در بستر دریا (ب) در سکو	۲۰۲
شکل ۱۹-۶- پیش کشیدگی اولیه رایزرهای طی گام استاتیک : (الف) در بستر دریا (ب) در سکو	۲۰۲
شکل ۲۰-۶- پاسخ <i>Heave</i> سه ساعتی <i>mini-TLP</i>	۲۰۳
شکل ۲۱-۶- پاسخ <i>Surge</i> سه ساعتی <i>mini-TLP</i>	۲۰۴
شکل ۲۲-۶- پاسخ <i>Pitch</i> سه ساعتی <i>mini-TLP</i>	۲۰۵
شکل ۲۳-۶- پاسخ سه ساعتی کشش در تندون شماره ۱	۲۰۶
شکل ۲۴-۶- پاسخ سه ساعتی کشش در رایزر شماره ۱	۲۰۷
شکل ۲۵-۶- پاسخ حالت پایدار سه ساعتی <i>Heave</i> سکو	۲۰۸
شکل ۲۶-۶- پاسخ حالت پایدار سه ساعتی <i>Surge</i> سکو	۲۰۸
شکل ۲۷-۶- پاسخ حالت پایدار سه ساعتی <i>Pitch</i> سکو	۲۰۹
شکل ۲۸-۶- پاسخ حالت پایدار سه ساعتی کشش در تندون شماره ۱	۲۰۹
شکل ۲۹-۶- پاسخ حالت پایدار سه ساعتی کشش در رایزر شماره ۱	۲۱۰
شکل ۳۰-۶- مدل <i>ABAQUS</i> دو <i>TLP</i> معادل، با هندسه بدنه متفاوت	۲۱۲
شکل ۳۱-۶- مقایسه پاسخ کوپلۀ <i>surge</i> : ارتفاع موج ۸، ۱۰ و ۱۲ متر، پریود موج ۱۵ ثانیه	۲۱۵
شکل ۳۲-۶- مقایسه پاسخ کوپلۀ <i>surge</i> : ارتفاع موج ۸، ۱۰ و ۱۲ متر، پریود موج ۲۰ ثانیه	۲۱۶

- شكل ٦-٣٣- مقایسه پاسخ کوپله *heave* : ارتفاع موج ٨، ١٠ و ١٢ متر، پریود موج ١٥ ثانیه ٢١٨
- شكل ٦-٣٤- مقایسه پاسخ کوپله *heave* : ارتفاع موج ٨، ١٠ و ١٢ متر، پریود موج ٢٠ ثانیه ٢١٩
- شكل ٦-٣٥- مقایسه پاسخ کوپله *pitch* : ارتفاع موج ٨، ١٠ و ١٢ متر، پریود موج ١٥ ثانیه ٢٢١
- شكل ٦-٣٦- مقایسه پاسخ کوپله *pitch* : ارتفاع موج ٨، ١٠ و ١٢ متر، پریود موج ٢٠ ثانیه ٢٢٢
- شكل ٦-٣٧- میزان افزایش پاسخ حداکثر *surge* نسبت به افزایش ارتفاع موج تابشی ٢٢٤
- شكل ٦-٣٨- میزان افزایش پاسخ حداکثر *heave* نسبت به افزایش ارتفاع موج تابشی ٢٢٤
- شكل ٦-٣٩- میزان افزایش پاسخ حداکثر *pitch* نسبت به افزایش ارتفاع موج تابشی ٢٢٤



فصل اول

کلیات

۱-۱- مقدمه

با پیشروی صنعت نفت به نواحی عمیق تر، به دلیل افزایش هزینه سازه های فراساحل ثابت با عمق آب، جهت توسعه اقتصادی میدانهای آب عمیق، مفاهیم جدید ساخت سکو و تکنولوژی های استخراج، حفاری و تولید ضروری هستند. لذا توجه قابل ملاحظه ای به استفاده از سازه های تطبیقی، مخصوصاً سکوهای پایه کششی (*Tension Leg Platforms*)، برای تولید نفت در دریای عمیق، جهت تأمین نیاز فزاینده به نفت و گاز، صورت گرفته است. مزیت های دیگر *TLP* ها همچون قابلیت استفاده مجدد، قابلیت انتقال آسان بواسطه اتمام نفت میدان نفتی و امکان نصب، توسعه و گسترش سریع آن، این سکو را جذاب تر ساخته است.

ارزیابی پاسخهای دینامیکی غیرخطی سازه تحت بار امواج تصادفی، با دقت بالا، یکی از فاکتورهای مهم برای طراحی منطقی، قابل اعتماد و بهینه *TLP* ها می باشد. از طرفی، نیاز به ابزارهای محاسباتی کامپیوترا، برای آنالیز *Global* سیستمهای شناور آب عمیق، به دو دلیل بیشتر حس می شود:

۱. آب عمیق به خودی خود چالشهای تکنیکی جدیدی را که باید کشف، و در طراحی ها لحاظ شوند، معرفی می کند.

۲. برای اعمق آب ۱۰۰۰ تا ۳۰۰۰ متر، تأیید و تصدیق آزمایش مدل با مدلسازی اعمق واقعی، سخت یا غیرممکن می شود و لذا استفاده ترکیبی از ابزار آنالیزی قابل اطمینان، ضروری می شود.

عملکرد *TLP* در برابر بارگذاری ها، تحت اثر عواملی چون پیش کشیدگی تندونها و رایزرها، ارتفاع تندونها و رایزها، وزن، هندسه و شناوری بدنه و وزن عرشه می باشد. بارگذاری موج به نحوی است که اکثر بار حاصل از آن بر بدنه وارد می شود و بنابراین چگونگی محاسبه بار ناشی از موج روی سازه و اندرکنش آب و سازه از اهمیت بالایی برخوردار است. همچنین اندرکنش دینامیکی کوپله بین بدنه یک سکوی شناور و رایزها و تندونهایش، نقش مهمی را در حرکات *Global* سکو و بارهای کششی در تندونها و رایزها بازی می کند. پس از روش انتخابی محاسبه بار موج، نحوه مدل کردن و انتخاب نوع تحلیل حائز اهمیت است.

رویکرد "آنالیز کاملاً کوپله" که در آن پاسخ های شناور در حوزه زمان با رفتار دینامیکی المانهای لاغر مثل رایزها، مهارها و تندونها کوپل شده اند، ابزار مفیدی برای *handling* مسائل آب عمیق *TLP* هاست. این رویکرد، یک مدلسازی مناسبتر از تمام اثرات اندرکنش مربوطه در مقایسه با آنالیز

"متداول و سنتی" بدست می دهد، آنالیزی که در آن شناور با حجمی بزرگ، به صورت غیرکوپله از المانهای لاغر در نظر گرفته می شود.

از آنجا که اثرات غیر خطی نمی توانند به آسانی در آنالیز حوزه فرکانسی در نظر گرفته شود، اما در عوض در آنالیز حوزه زمانی با تکنیک های انتگرال گیری عددی بهتر *handle* می شوند، و از طرفی بدليل استفاده از تاریخچه زمانی موج، از تحلیل میدان زمانی بهره گرفته شد.

۲-۱- هدف تحقیق

با توجه به عمق زیاد دریای خزر و توجه کم صورت گرفته در دانشگاه های کشور، مدلسازی و بررسی رفتار و طراحی *TLP* ها، هرچه بیشتر ضروری بنظر می رسد. تعریف موج تصادفی به نرم افزار *ABAQUS* با کدنویسی *Fortran*، در نظر گرفتن اثرات کوپل شدگی دینامیک رایزرهای تندونها با دینامیک بدن سکو، صحت سنجی دقیق مدلسازی نرم افزاری با نتایج آزمایشگاهی و بررسی اثر شکل بدن (*Hull*) روی پاسخ دینامیک این سکوها، از جمله تلاشهایی است که در شناخت هرچه بهتر و بیشتر رفتار سازه ای و دینامیکی *TLP* ها در این تحقیق دنبال خواهد شد. چنانچه کیفیت صحت سنجی ها مطلوب باشد، مدل کامپیوتری حاصل از این مطالعه، ابزار قدرتمندی خواهد بود که مسیر مطالعات مرتبط با رفتار دینامیکی *TLP* ها را هموار می سازد.

۳-۱- روش انجام تحقیق

مدل آزمایشگاهی معتبری از یک *mini-TLP* در نرم افزار *ABAQUS* مدلسازی شد. تاریخچه زمانی سه ساعتی موج تصادفی با استفاده از سوپرپوزیشن مولفه های خطی موج منظم، با بهره گیری از طیف *Jonswap* (مطابق با اطلاعات آزمایش) به کمک کدنویسی *Fortran* تحت یک *Subroutine* به *ABAQUS* معرفی و شناسانده شد. صحت سنجی مدلسازی از طریق مقایسه نتایج آنالیز نرم افزاری با مقادیر آزمایشگاهی، در سه مرحله، به شرح زیر صورت گرفت:

۱. پیش کشیدگی تندونها و رایزرهای در حالت استاتیک.

۲. پریودهای طبیعی بدست آمده از آنالیز استخراج فرکانس، بخصوص برای درجات آزادی *Surge* و *Yaw* و *Sway*

۳. جابجائی های ۶ درجه آزادی و کشش های دینامیک حداکثر و حداقل تندونها و رایزرهای آنالیز دینامیکی.

کیفیت مناسب مقایسه‌ها، دقت خوب مدلسازی را مشخص ساخت. از میان عوامل مختلف، اثر شکل بدن روی پاسخ مدنظر قرار گرفت و رفتار دینامیک دو TLP معادل، یکی با بدنۀ مربعی و دیگری با بدنۀ مثلثی مقایسه شد.

۱-۴- فصل بندی پایان نامه

در این تحقیق در فصل دوم به مرور منابع پیشین، تاریخچه TLP و معرفی کلی آن شامل فلسفه طراحی و ساخت TLP ‌ها، اجزای TLP و وظایف آنها، روشها و مراحل نصب پرداخته شد. در فصل سوم ضوابط طراحی محبیطی و توصیه‌های API برای سکوهای پایه کششی مورد بررسی قرار گرفت. فصل چهارم به تحلیل هیدرودینامیکی و مکانیک TLP ، معادلات حرکت TLP ‌های با بدنۀ مربعی و مثلثی، اصول مدلسازی و انواع تحلیل اختصاص یافته است. در فصل پنجم، مشخصات TLP آزمایش شده، علت انتخاب نرم افزار $ABAQUS$ و بیان جزئیات کاملی از پروسه مدلسازی TLP و همچنین سری‌های زمانی موج نامنظم تولید شده توسط کد $ABAQUS$ که در آنالیز دینامیکی $Fortran$ بکار رفته اند، ارائه شده اند. در فصل ششم مقایسه نتایج آنالیز TLP تحت امواج تصادفی با اندازه گیری‌های آزمایشگاهی جهت صحت سنجی مدلسازی صورت گرفت و پس از تأیید مدلسازی کامپیوتربی، از آن برای مقایسه رفتار دینامیک TLP ‌های مربعی و مثلثی، تحت امواج منظم استفاده شد. در نهایت در فصل هفتم نتایج تحقیق که به شناخت هرچه بهتر رفتار TLP ‌ها و طراحی دقیق‌تر آنها کمک می‌کند، ارائه شد.



فصل دوم

TLP معرفی کلی